

Entrée et sortie: Système Offset Reflective ORS18a pour la teinte CIELAB relative $h_{ab,a,rel} = h_{ab}/360 = 298/360 = 0.82$

$H^*_- = B00R_-$

Données de couleurs périphériques (d)

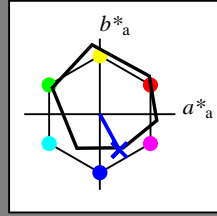
ou élémentaires (e):

HIC^*_-

code de teinte pour les couleurs de cette page:

$H^*_- = B00R_-$

triangle de luminosité T^*



ORS18a; données CIELAB (a) adaptées

nom	$L^*=L^*_a a^*_a$	b^*_a	$C^*_{ab,a}$	$h^*_{ab,a}$	
R _{-,Ma}	47.9	65.3	50.5	82.6	37
Y _{-,Ma}	90.3	-10.2	91.7	92.3	96
G _{-,Ma}	50.9	-62.8	34.9	71.9	150
C _{-,Ma}	58.6	-30.3	-45.0	54.2	236
B _{-,Ma}	25.7	31.0	-44.4	54.2	305
M _{-,Ma}	48.1	75.2	-8.3	75.7	353
N _{-,Ma}	18.0	0.0	0.0	0.0	0
W _{-,Ma}	95.4	0.0	0.0	0.0	0
R _{-,CIE}	39.9	58.7	27.9	65.0	25
Y _{-,CIE}	81.2	-2.8	71.5	71.6	92
G _{-,CIE}	52.2	-42.4	13.6	44.5	162
B _{-,CIE}	30.5	1.4	-46.4	46.4	271

Les données de couleur maximale (Ma):

LabCh_{-,Ma}: 27 25 -47 53 298

$HIC^*_{-,Ma}$: B00R_100_100_

$rgbic^*_{-,Ma}$:

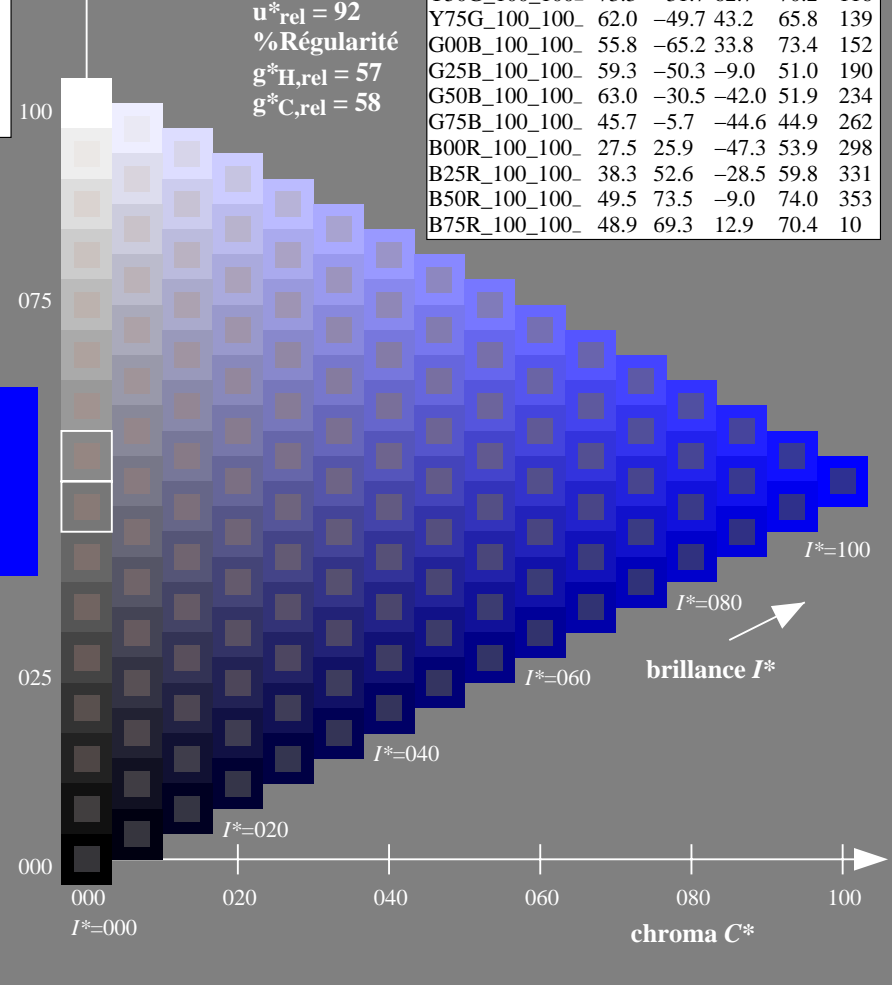
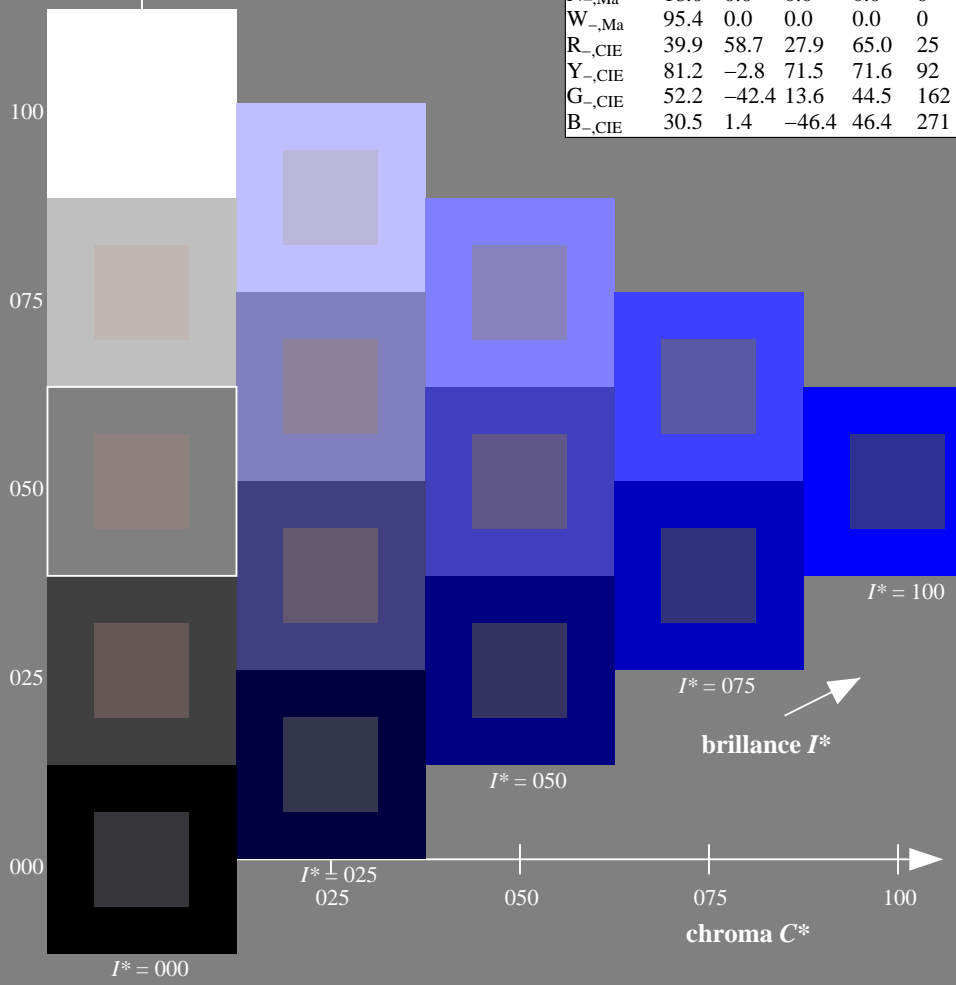
0.0 0.0 1.0 1.0 1.0

triangle de luminosité T^*

%Gamme
 $u^*_{rel} = 92$
 %Régularité
 $g^*_H,rel = 57$
 $g^*_C,rel = 58$

ORS20a; données CIELAB (a) adaptées

H^*_-	$L^*=L^*_a a^*_a$	b^*_a	$C^*_{ab,a}$	$h^*_{ab,a}$	
R00Y_100_100_	48.4	66.1	40.2	77.3	31
R25Y_100_100_	56.8	48.0	50.5	69.6	46
R50Y_100_100_	68.6	25.0	63.9	68.6	68
R75Y_100_100_	80.6	4.8	77.2	77.3	86
Y00G_100_100_	90.2	-9.6	88.2	88.7	96
Y25G_100_100_	83.2	-18.4	79.9	81.9	102
Y50G_100_100_	73.3	-31.7	62.7	70.2	116
Y75G_100_100_	62.0	-49.7	43.2	65.8	139
G00B_100_100_	55.8	-65.2	33.8	73.4	152
G25B_100_100_	59.3	-50.3	-9.0	51.0	190
G50B_100_100_	63.0	-30.5	-42.0	51.9	234
G75B_100_100_	45.7	-5.7	-44.6	44.9	262
B00R_100_100_	27.5	25.9	-47.3	53.9	298
B25R_100_100_	38.3	52.6	-28.5	59.8	331
B50R_100_100_	49.5	73.5	-9.0	74.0	353
B75R_100_100_	48.9	69.3	12.9	70.4	10



voir fichiers similaires: <http://130.149.60.45/~farbmetrik/RF16/RF16LONP.PDF> /PS application pour la mesure des sorties sur offset

TUB enregistrement: 20130201 -RF16/RF16LONP.PDF /PS

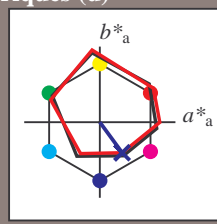
TUB matériel: code=rh4ta

Entrée et sortie: Système Offset Reflective ORS18a pour la teinte CIELAB relative $h_{ab,a,rel} = h_{ab}/360 = 306/360 = 0.85$

$H^*_d = B00R_d$

Données de couleurs périphériques (d)
ou élémentaires (e):

HIC^*_d
code de teinte pour les couleurs de cette page:
 $H^*_d = B00R_d$
triangle de luminosité T^*



ORS20a; données CIELAB (a) adaptées

nom	$L^*=L^*_a$	a^*_a	b^*_a	$C^*_{ab,a}$	$h^*_{ab,a}$
R _{d,Ma}	45.4	70.9	44.8	83.9	32
Y _{d,Ma}	87.8	-10.2	95.4	96.0	96
G _{d,Ma}	50.0	-65.0	29.6	71.4	155
C _{d,Ma}	56.8	-25.5	-41.5	48.7	238
B _{d,Ma}	25.0	29.5	-40.4	50.0	306
M _{d,Ma}	46.1	79.3	-0.2	79.3	359
N _{d,Ma}	24.3	0.0	0.0	0.0	0
W _{d,Ma}	95.6	0.0	0.0	0.0	0
R _{d,CIE}	39.9	58.7	27.9	65.0	25
Y _{d,CIE}	81.2	-2.8	71.5	71.6	92
G _{d,CIE}	52.2	-42.4	13.6	44.5	162
B _{d,CIE}	30.5	1.4	-46.4	46.4	271

Les données de couleur maximale (Ma):

LabCh^{*}_{d,Ma}: 25 29 -40 50 306

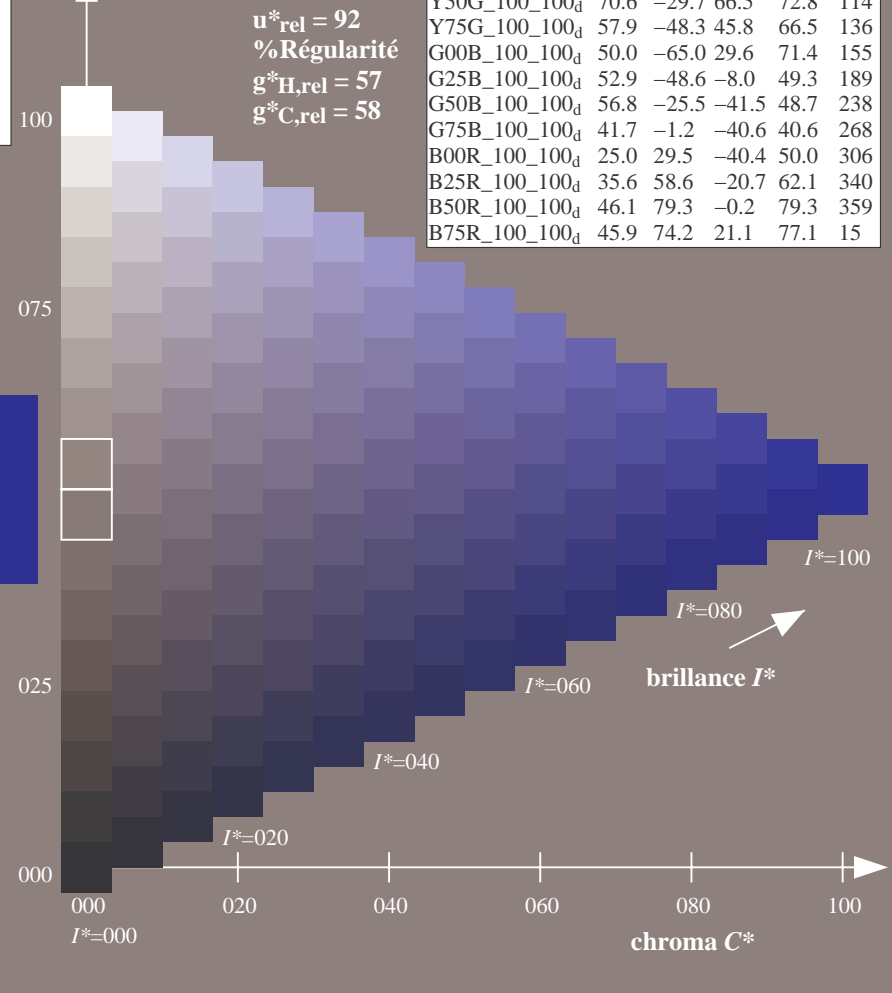
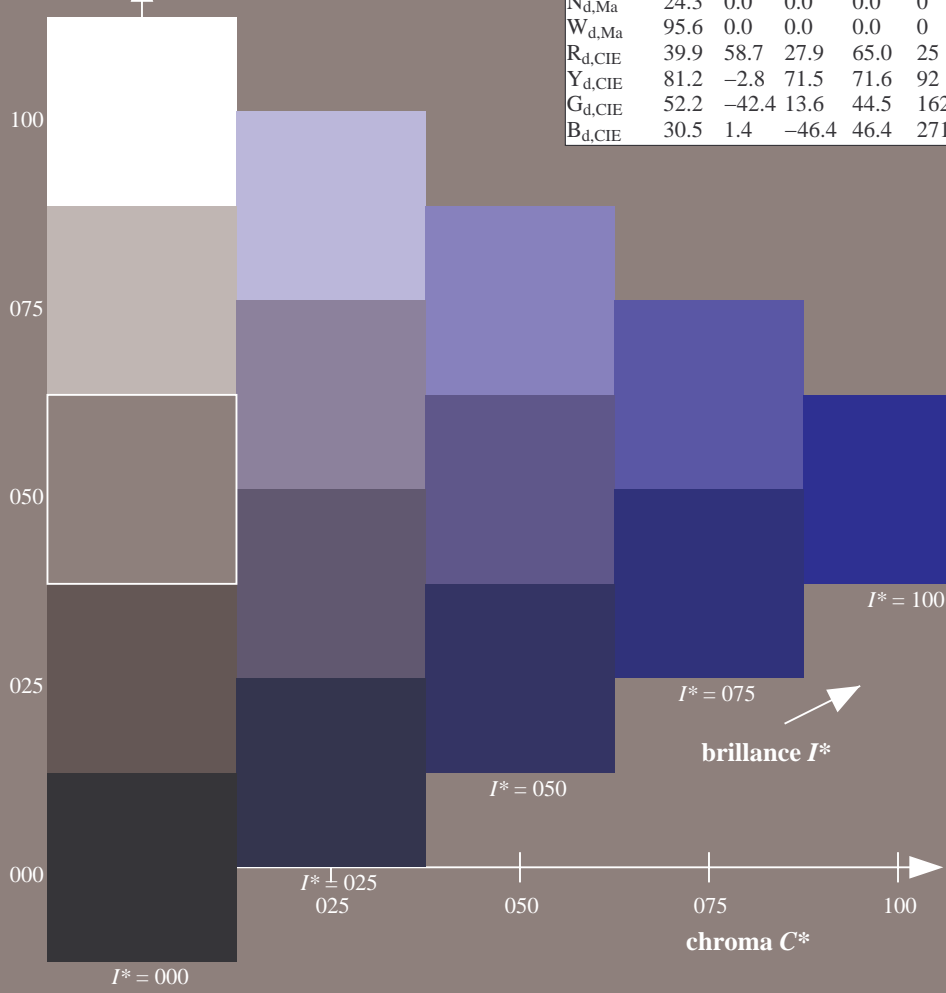
HIC^*_d,Ma : B00R_100_100d

rgbic^{*}_{d,Ma}:
0.0 0.0 1.0 1.0 1.0

triangle de luminosité T^*

ORS20a; données CIELAB (a) adaptées

H^*_d	$L^*=L^*_a$	a^*_a	b^*_a	$C^*_{ab,a}$	$h^*_{ab,a}$
R00Y_100_100d	45.4	70.9	44.8	83.9	32
R25Y_100_100d	53.0	53.4	54.8	76.5	45
R50Y_100_100d	64.9	28.9	68.6	74.5	67
R75Y_100_100d	78.6	4.3	84.7	84.8	87
Y00G_100_100d	87.8	-10.2	95.4	96.0	96
Y25G_100_100d	81.2	-17.0	84.3	86.0	101
Y50G_100_100d	70.6	-29.7	66.5	72.8	114
Y75G_100_100d	57.9	-48.3	45.8	66.5	136
G00B_100_100d	50.0	-65.0	29.6	71.4	155
G25B_100_100d	52.9	-48.6	-8.0	49.3	189
G50B_100_100d	56.8	-25.5	-41.5	48.7	238
G75B_100_100d	41.7	-1.2	-40.6	40.6	268
B00R_100_100d	25.0	29.5	-40.4	50.0	306
B25R_100_100d	35.6	58.6	-20.7	62.1	340
B50R_100_100d	46.1	79.3	-0.2	79.3	359
B75R_100_100d	45.9	74.2	21.1	77.1	15



voir fichiers similaires: <http://130.149.60.45/~farbmetrik/RF16/RF16L0NP.PDF> / PS application pour la mesure des sorties sur offset, séparation cmy0 (CMY0)

TUB enregistrement: 20130201-RF16/RF16L0NP.PDF / PS TUB matériel: code=rh4ta



Entrée et sortie: Système Offset Reflective ORS18a pour la teinte CIELAB relative $h_{ab,a,rel} = h_{ab}/360 = 298/360 = 0.82$

$H^*_- = B00R_-$

Données de couleurs périphériques (d)

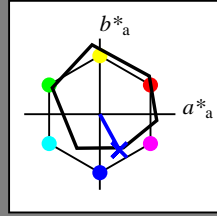
ou élémentaires (e):

HIC^*_-

code de teinte pour les couleurs de cette page:

$H^*_- = B00R_-$

triangle de luminosité T^*



ORS18a; données CIELAB (a) adaptées

nom	$L^*=L^*_a a^*_a$	b^*_a	$C^*_{ab,a}$	$h^*_{ab,a}$	
R _{-,Ma}	47.9	65.3	50.5	82.6	37
Y _{-,Ma}	90.3	-10.2	91.7	92.3	96
G _{-,Ma}	50.9	-62.8	34.9	71.9	150
C _{-,Ma}	58.6	-30.3	-45.0	54.2	236
B _{-,Ma}	25.7	31.0	-44.4	54.2	305
M _{-,Ma}	48.1	75.2	-8.3	75.7	353
N _{-,Ma}	18.0	0.0	0.0	0.0	0
W _{-,Ma}	95.4	0.0	0.0	0.0	0
R _{-,CIE}	39.9	58.7	27.9	65.0	25
Y _{-,CIE}	81.2	-2.8	71.5	71.6	92
G _{-,CIE}	52.2	-42.4	13.6	44.5	162
B _{-,CIE}	30.5	1.4	-46.4	46.4	271

Les données de couleur maximale (Ma):

LabCh_{-,Ma}: 27 25 -47 53 298

HIC^*_-,Ma : B00R_100_100_

rgbic_{-,Ma}:

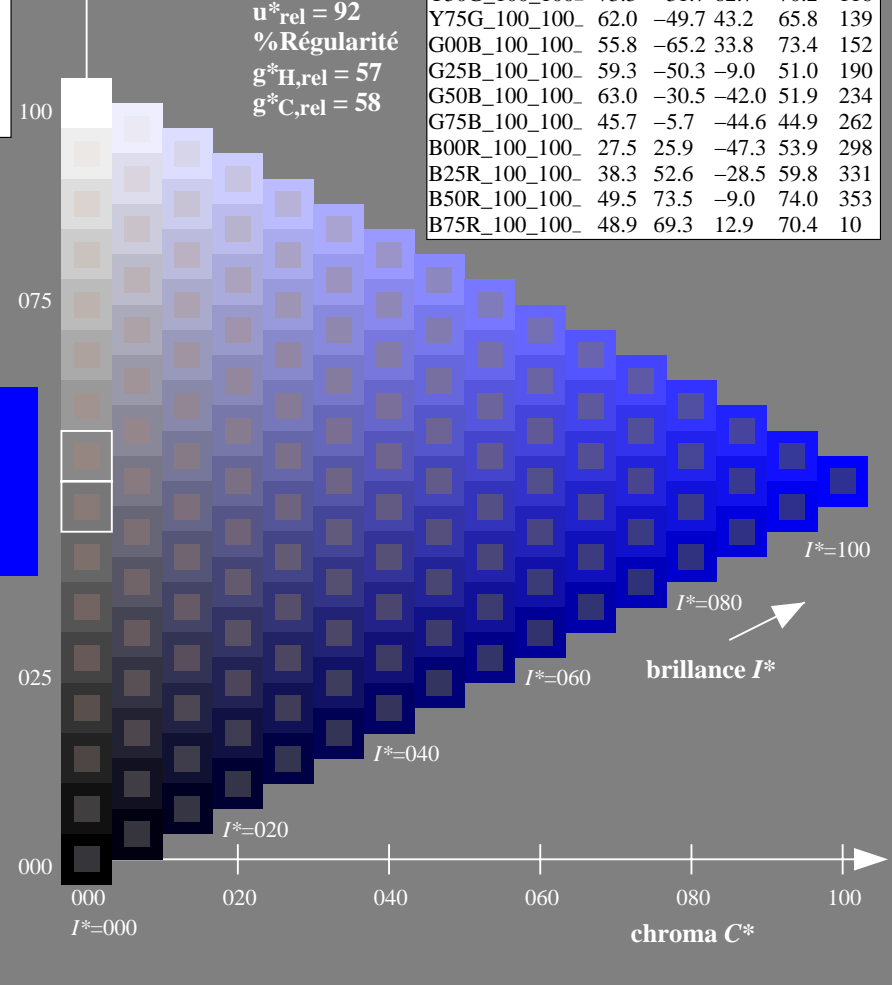
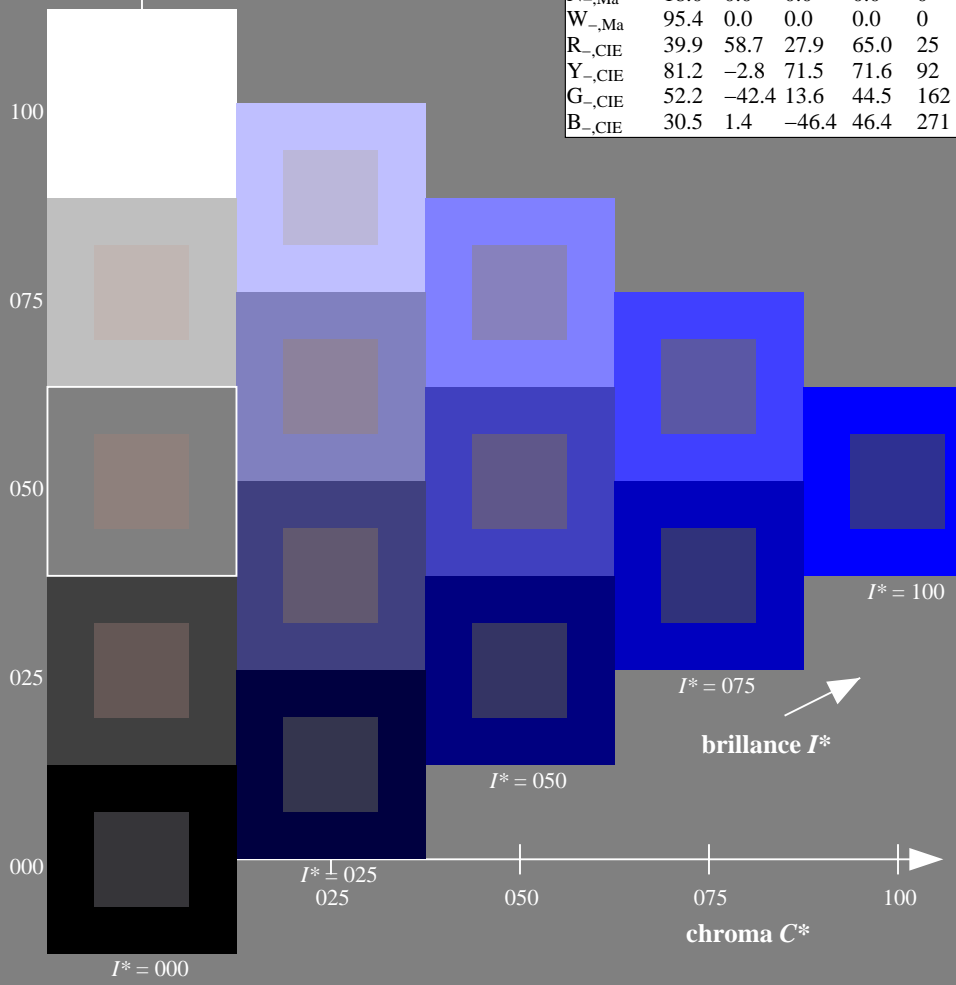
0.0 0.0 1.0 1.0 1.0

triangle de luminosité T^*

%Gamme
 $u^*_{rel} = 92$
%Régularité
 $g^*_H,rel = 57$
 $g^*_C,rel = 58$

ORS20a; données CIELAB (a) adaptées

H^*_-	$L^*=L^*_a a^*_a$	b^*_a	$C^*_{ab,a}$	$h^*_{ab,a}$	
R00Y_100_100_	48.4	66.1	40.2	77.3	31
R25Y_100_100_	56.8	48.0	50.5	69.6	46
R50Y_100_100_	68.6	25.0	63.9	68.6	68
R75Y_100_100_	80.6	4.8	77.2	77.3	86
Y00G_100_100_	90.2	-9.6	88.2	88.7	96
Y25G_100_100_	83.2	-18.4	79.9	81.9	102
Y50G_100_100_	73.3	-31.7	62.7	70.2	116
Y75G_100_100_	62.0	-49.7	43.2	65.8	139
G00B_100_100_	55.8	-65.2	33.8	73.4	152
G25B_100_100_	59.3	-50.3	-9.0	51.0	190
G50B_100_100_	63.0	-30.5	-42.0	51.9	234
G75B_100_100_	45.7	-5.7	-44.6	44.9	262
B00R_100_100_	27.5	25.9	-47.3	53.9	298
B25R_100_100_	38.3	52.6	-28.5	59.8	331
B50R_100_100_	49.5	73.5	-9.0	74.0	353
B75R_100_100_	48.9	69.3	12.9	70.4	10



voir fichiers similaires: <http://130.149.60.45/~farbmetrik/RF16/RF16LONP.PDF> / .PS
informations techniques: <http://www.ps.bam.de> ou <http://130.149.60.45/~farbmetrik>

TUB enregistrement: 20130201 - RF16/RF16LONP.PDF / .PS
application pour la mesure des sorties sur offset

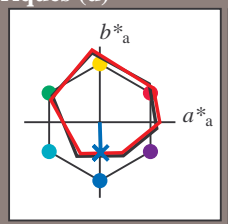
TUB matériel: code=rh4ta

Entrée et sortie: Système Offset Reflective ORS18a pour la teinte CIELAB relative $h_{ab,a,rel} = h_{ab}/360 = 271/360 = 0.75$

$H^*_e = B00R_e$

Données de couleurs périphériques (d)
ou élémentaires (e):

HIC^*_e
code de teinte pour les couleurs de cette page:
 $H^*_e = B00R_e$
triangle de luminosité T^*



ORS20a; données CIELAB (a) adaptées

nom	$L^*=L^*_a a^*_a$	b^*_a	$C^*_{ab,a}$	$h^*_{ab,a}$
$R_{e, Ma}$	45.6	72.2	34.4	80.0
$Y_{e, Ma}$	83.6	-3.6	90.4	92
$G_{e, Ma}$	50.6	-62.1	19.9	65.2
$C_{e, Ma}$	55.0	-36.2	-27.2	45.3
$B_{e, Ma}$	40.2	1.2	-40.6	40.6
$M_{e, Ma}$	31.1	47.7	-29.1	55.9
$N_{e, Ma}$	24.3	0.0	0.0	0.0
$W_{e, Ma}$	95.6	0.0	0.0	0.0
$R_{e, CIE}$	39.9	58.7	27.9	65.0
$Y_{e, CIE}$	81.2	-2.8	71.5	71.6
$G_{e, CIE}$	52.2	-42.4	13.6	44.5
$B_{e, CIE}$	30.5	1.4	-46.4	46.4

Les données de couleur maximale (Ma):

$LabCh^*_{e, Ma}: 40 \ 1 \ -40 \ 40 \ 271$

$HIC^*_{e, Ma}: B00R_100_100_e$

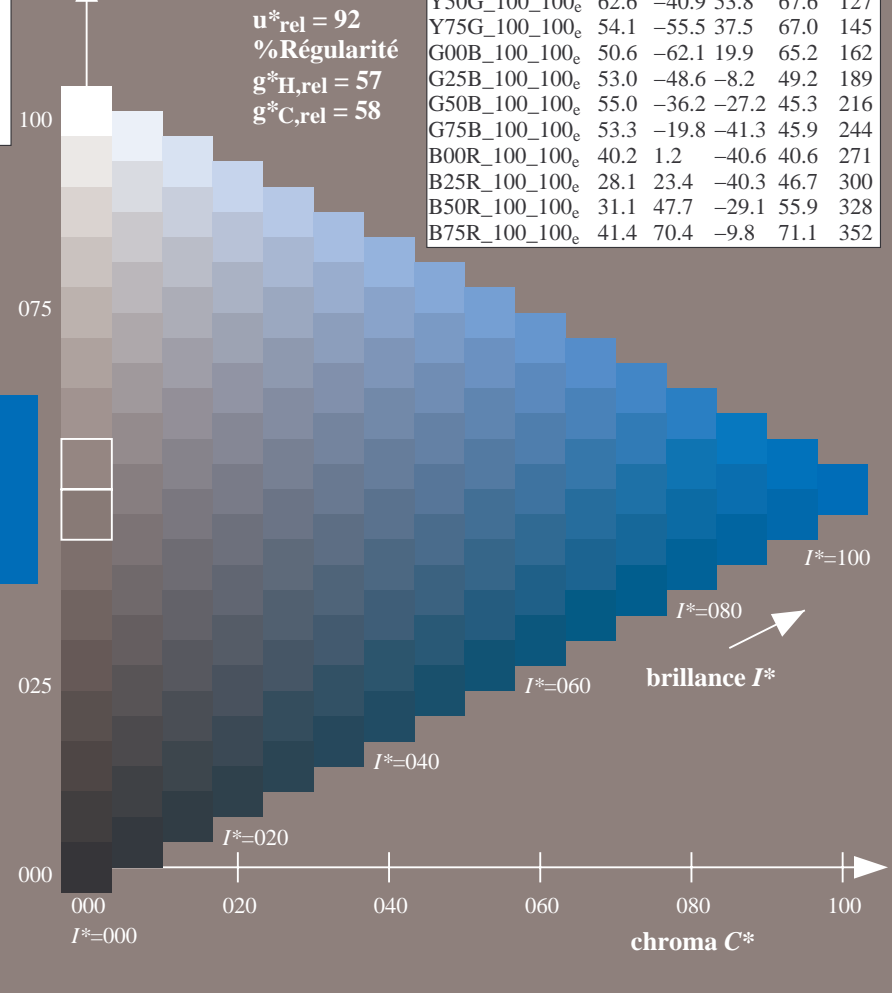
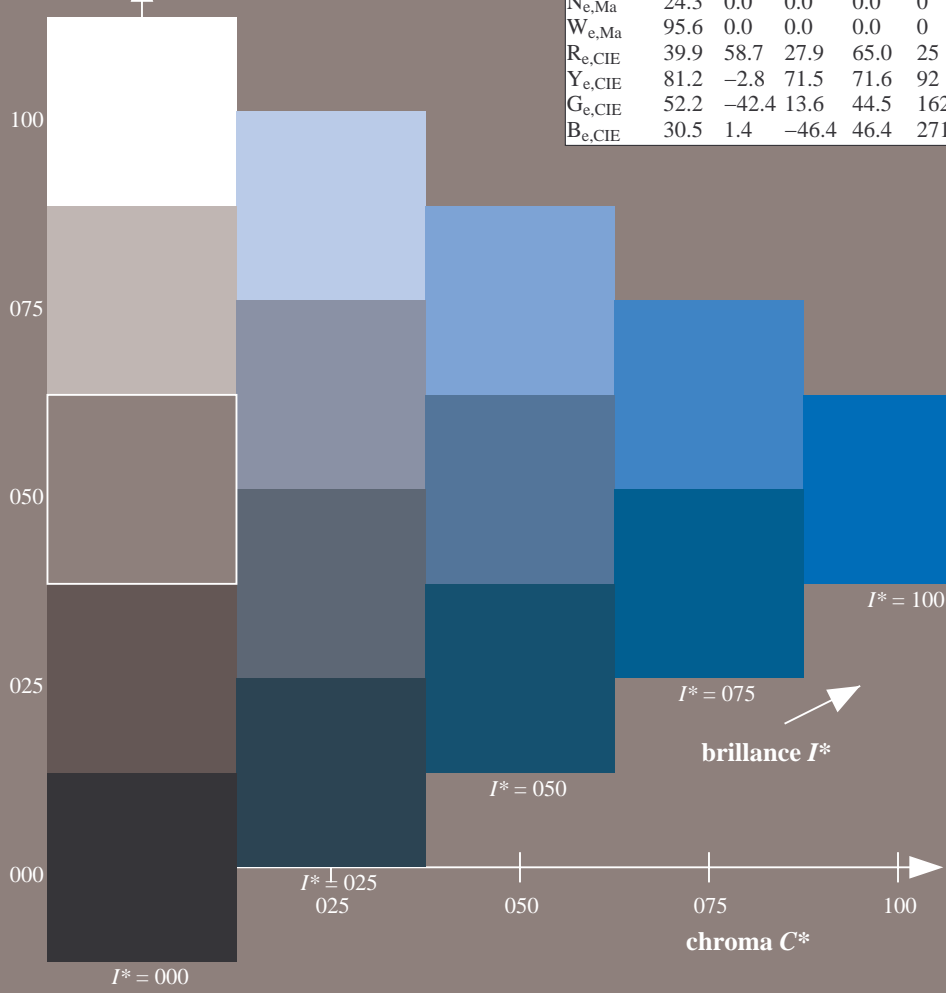
$rgbic^*_{e, Ma}: 0.0 \ 0.45 \ 1.0 \ 1.0 \ 1.0$

triangle de luminosité T^*

% Gamme
 $u^*_{rel} = 92$
% Régularité
 $g^*_{H, rel} = 57$
 $g^*_{C, rel} = 58$

ORS20a; données CIELAB (a) adaptées

H^*_e	$L^*=L^*_a a^*_a$	b^*_a	$C^*_{ab,a}$	$h^*_{ab,a}$
$R00Y_100_100_e$	45.6	72.2	34.4	80.0
$R25Y_100_100_e$	50.5	59.2	51.6	78.6
$R50Y_100_100_e$	60.2	38.2	63.4	74.1
$R75Y_100_100_e$	70.9	17.9	75.9	77.9
$Y00G_100_100_e$	83.6	-3.6	90.4	92
$Y25G_100_100_e$	74.5	-25.0	74.3	78.4
$Y50G_100_100_e$	62.6	-40.9	53.8	67.6
$Y75G_100_100_e$	54.1	-55.5	37.5	67.0
$G00B_100_100_e$	50.6	-62.1	19.9	65.2
$G25B_100_100_e$	53.0	-48.6	-8.2	49.2
$G50B_100_100_e$	55.0	-36.2	-27.2	45.3
$G75B_100_100_e$	53.3	-19.8	-41.3	45.9
$B00R_100_100_e$	40.2	1.2	-40.6	40.6
$B25R_100_100_e$	28.1	23.4	-40.3	46.7
$B50R_100_100_e$	31.1	47.7	-29.1	55.9
$B75R_100_100_e$	41.4	70.4	-9.8	71.1



voir fichiers similaires: <http://130.149.60.45/~farbmetrik/RF16/RF16L0NP.PDF> / PS application pour la mesure des sorties sur offset, séparation cmy0 (CMY0)

TUB enregistrement: 20130201 -RF16/RF16L0NP.PDF / PS TUB matériel: code=rh4ta

